

## 原 報

### 4H-1,3-Oxazin-4-one 誘導体の環変換反応を利用した Azaphenanthrene 誘導体の合成

大内 秀一, 川田 陽子, 森田 恭夫, 山本 豊, 高畠 廣紀

### Synthesis of Azaphenanthrene Derivatives Using Ring-transformation of 4H-1,3-Oxazin-4-one Derivatives

Hidekazu OUCHI, Yoko KAWATA, Yasuo MORITA, Yutaka YAMAMOTO, and Hiroki TAKAHATA

(Received November 22, 2003)

Reactions of 4H-1,3-oxazin-4-ones with cyclic ketones such as  $\alpha$ -tetralone,  $\beta$ -tetralone, and  $\Delta^{1(9)}$ -octalone-2 afforded 9,10-dihydrobenz[f]isoquinolin-3(2H)-ones, 5,6-dihydrobenz[h]isoquinolin-3(2H)-ones, and 6,7,8,9,10-pentahydrobenz[g]isoquinolin-3(2H)-ones, respectively.

**Key words** — 4H-1,3-oxazin-4-one; cyclic ketone; azaphenanthrene; ring-transformation; isoquinolin-3(2H)-one

Azaphenanthrene 誘導体は天然物の構成成分であり,<sup>1)</sup> 薬理学的にも面白い特性を有する化合物であることが知られている。<sup>2,3)</sup>

当研究室では、4H-1,3-oxazin-4-one 誘導体 **1** と各種の求核試薬との反応を種々検討し、多置換 pyridine あるいは pyrimidine など種々の含窒素複素環化合物の効率的な合成法を確立してきた。<sup>4-9)</sup> 今回、**1** の環変換反応の一環として、azaphenanthrene 誘導体の合成を行った。

先ず、lithium diisopropylamide (LDA) を塩基として用い、2-phenyl-6-methyl-4H-1,3-oxazin-4-one (**1a**) と  $\alpha$ -tetralone (**2a**) の反応を検討した。Tetrahydrofuran (THF) 中 1.1 当量の LDA 存在下で **1a** と **2a** を反応させると、**2a** の 2 位が **1a** の 2 位の炭素を攻撃し、次いで oxazine 環が開環して生成した *N*-(1-oxo-3,4-dihydronaphthalen-2(1H)-ylidene)(phenyl)-methyl)acetoacetamide (**3**) が 62% の収率で、さらに **3** が Dieckmann 型の縮合により閉環した 4-acetyl-1-phenyl-9,10-dihydrobenz[f]isoquinolin-3(2H)-one(**4a**) が 23% の収率で得られた。Acetoacetamide 体 **3** は ethanol 中

sodium ethoxide で処理することで、閉環体 **4a** に 57% の収率で変換できた。成績体 **3** および **4a** の構造は MS スペクトル、IR スペクトル、および <sup>1</sup>H-NMR スペクトルにより決定した (Chart 1)。

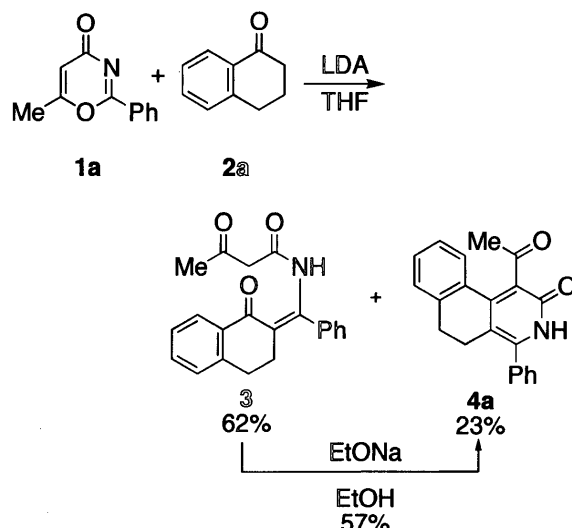


Chart 1

次に、塩基を potassium *tert*-butoxide (*t*-BuOK) に代えて反応を検討した。すなわち、

THF 中 1.2 当量の *t*-BuOK 存在下で **1a** と **2a** を反応させると, acetoacetamide 体 **3** は得られず, 環変換反応が一気に進行した **4a** が 64% の収率で得られた。Oxazine **1a** を 2-isopropyl-6-methyl-4H-1,3-oxazin-4-one (**1b**) および 6-methyl-2-*n*-propyl-4H-1,3-oxazin-4-one (**1c**) に代え, **2a** との反応を同様の条件で行ったところ, 4-acetyl-1-isopropyl-9,10-dihydrobenz[f]isoquinolin-3(2H)-one (**4b**) および 4-acetyl-1-*n*-propyl-9,10-dihydrobenz[f]isoquinolin-3(2H)-one (**4c**) がそれぞれ 45% および 33% の収率で得られた。成績体 **4b, c** の構造は各スペクトルデータ (MS, IR, <sup>1</sup>H-NMR) により決定した (Chart 2)。

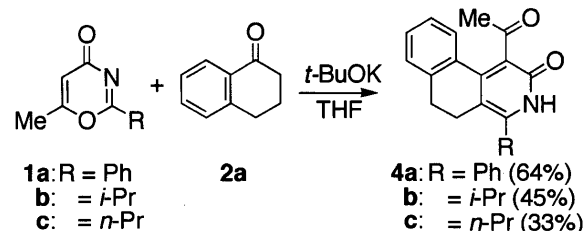


Chart 2

**2a** を  $\beta$ -tetralone (**2b**) に代えて反応を検討した。THF 中 1.2 当量の *t*-BuOK 存在下 **1a** と **2b** とを反応させると, 4-acetyl-1-phenyl-5,6-dihydrobenz[f]isoquinolin-3(2H)-one (**4d**) が 84% の収率で得られた。**2b** の反応部位は  $\alpha$  位と  $\beta$  位の 2 つ存在するが, 一般に  $\alpha$  位のプロトンの方の酸性度が高いため,<sup>10,11)</sup> 反応は  $\alpha$  位で進行したと考えられる。Oxazine **1b** と **2b** との反応を同様の条件で行ったところ, 4-acetyl-1-isopropyl-5,6-dihydrobenz[f]isoquinolin-3(2H)-one (**4e**) が 45% の収率で得られた (Chart 3)。

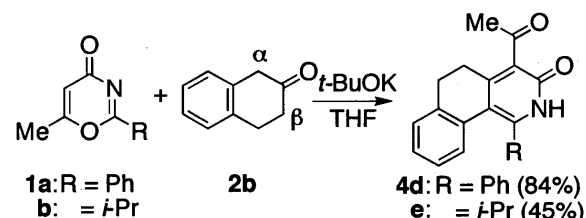


Chart 3

成績体 **4d, e** の構造は, 各スペクトルデータ (MS, IR, <sup>1</sup>H-NMR) により決定した。特に, 成績体 **4d** の <sup>1</sup>H-NMRにおいて, 9, 10 位のプロトンが自由回転出来ない 1 位 phenyl 基の環の真上に位置するため (Fig. 1),<sup>12)</sup> その anisotropy により 9, 10 位のシグナルが通常より高磁場側にシフトした 6.67-6.93 ppm (2H, m) に観察されたことからもこの構造が支持される。

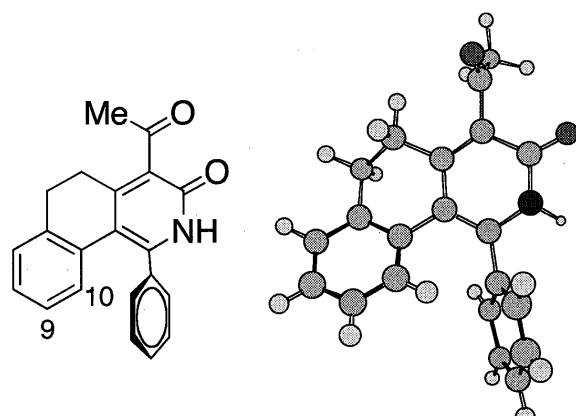


Fig. 1

最後に  $\Delta^{1(9)}$ -octalone-2 (**2c**) を用いて反応を検討した。THF 中 1.2 当量の *t*-BuOK 存在下, **1a** と **2c** を反応させると, 4-acetyl-1-phenyl-6,7,8,9,10-pentahydrobenz[g]isoquinolin-3(2H)-one (**4f**) が 16% の収率で得られた。成績体 **4f** の構造は各スペクトルデータ (MS, IR, <sup>1</sup>H-NMR) により決定した (Chart 4)。

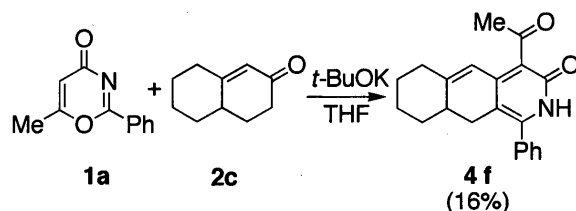


Chart 4

以上, 4H-1,3-oxazin-4-one **1a-c** と **2a, 2b**, および **2c** の反応を行い, azaphenanthrene 誘導体の 9,10-dihydrobenz[f]isoquinolin-3(2H)-one 体 **4a-c**, 5,6-dihydrobenz[h]isoquinolin-3(2H)-one 体 **4d, e**, および 6,7,8,9,10-pentahydrobenz[g]-isoquinolin-3(2H)-one 体 **4f** の合成を達成した。

## 実験の部

融点はすべて未補正であり、三田村理研工業 Mel-Temp 融点測定装置を用いて測定した。IR スペクトルは Perkin Elmer 1600 series FT-IR spectrophotometer を用いて測定した。電子イオン化 (EI)- および高分解能 (HR)-MS スペクトルは JEOL JMS-DX 303/JMA-DA 5000 spectrometer を用いて測定した。元素分析値は Perkin-Elmer CHN 2400 Elemental Analyzer を用いて測定した。<sup>1</sup>H-NMR スペクトルは JEOL JNM-PMX 60<sub>Si</sub> spectrometer および JEOL JNM-EX 270 spectrometer を使用し、化学シフトは tetramethylsilane [(CH<sub>3</sub>)<sub>4</sub>Si] を内部標準物質として (CH<sub>3</sub>)<sub>4</sub>Si からの ppm で示した。<sup>1</sup>H-NMR の略号として s(singlet), d(doublet), t(triplet), q(quartet), m(multiplet) および br(broad) を用いた。シリカゲルカラムクロマトグラフィーは充填剤に Merck Silica Gel 60 (230-400 mesh) を使用した。

### 一般操作法

窒素気流下、*tert*-BuOK (0.67 g, 6 mmol) の THF (15 mL) 懸濁液に室温で双環性ケトン **2a-c** (5 mmol) の THF (20 mL) 溶液を滴下する。室温で 30 分攪拌後、oxazine **1a-c** (5 mmol) の THF (20 mL) 溶液を滴下し、室温で一晩攪拌する。反応液に 10 % HCl を加え酸性とし、次いで、反応液を減圧下溶媒留去する。残渣を chloroform (50 mL × 3) で抽出し、chloroform 層を合わせて、無水 MgSO<sub>4</sub> で乾燥、濾過、減圧下溶媒留去する。残渣を再結晶により精製する。

### 4-Acetyl-1-phenyl-9,10-dihydrobenz[f]-isoquinolin-3(2H)-one (**4a**)

1) 窒素気流下、diisopropylamine (1.11 g, 11 mmol) の THF (20 mL) 溶液に -75 ℃で *n*-BuLi (6.87 mL, 11 mmol) を滴下する。滴下後 30 分攪拌し、**2a** (1.43 g, 10 mmol) の THF (20 mL) 溶液を滴下する。1 時間攪拌後、oxazine **1a** (1.87 g, 10 mmol) の THF (30 mL) 溶液を滴下する。滴下後、徐々に室温に戻し、一晩攪

拌する。反応液に 10 % HCl を加え酸性とし、反応液を減圧下溶媒留去後、chloroform (50 mL × 3) で抽出する。Chloroform 層を無水 MgSO<sub>4</sub> で乾燥、濾過、減圧下溶媒留去する。残渣をシリカゲルカラムクロマトグラフィー (*n*-hexane-ethyl acetate = 2 : 1) に付し、*N*-((1-oxo-3,4-dihydronephthalen-2(1*H*)-ylidene)(phenyl)-methyl)acetoacetamide (**3**, 2.07 g, 収率 62%) および **4a** (725 mg, 収率 23%) を得る。

金属 Na (0.713 g, 31.3 mg atom) を無水 ethanol (50 mL) に溶かした溶液に **3** (2.07 g, 6.2 mmol) の無水 ethanol (50 mL) 溶液を滴下し、室温で一晩攪拌する。反応液に 10 % HCl を加え酸性とし、反応液を減圧下溶媒留去後、chloroform (30 mL × 3) で抽出する。Chloroform 層を無水 MgSO<sub>4</sub> で乾燥、濾過、減圧下溶媒留去する。残渣を acetic acid より再結晶し **4a** (1.12 g, 収率 57%) を得る。

**3** : IR (neat) cm<sup>-1</sup> : 2980 (NH), 1734 (C=O), 1750 (C=O). <sup>1</sup>H-NMR (CDCl<sub>3</sub>) δ : 2.00 (1.1H, s, =C(-OH)-CH<sub>3</sub>), 2.33 (1.9H, s, -CO-CH<sub>3</sub>), 2.34-3.15 (4H, m, -(CH<sub>2</sub>)<sub>2</sub>-), 3.49 (1.3H, s, -CO-CH<sub>2</sub>-CO-), 5.13 (0.3H, s, -C(-OH)=CH-CO-), 7.00-7.66 (9H, m, 5,6,7,8-ring proton), 8.00-8.27 (1H, br, NH), 12.83-13.10 (0.4H, br, -OH). HR-MS *m/z* : 333.1349 (M<sup>+</sup>, Calcd for C<sub>21</sub>H<sub>19</sub>NO<sub>3</sub>; 333.1365).

**4a** : mp > 300 ℃. IR (KBr) cm<sup>-1</sup> : 2843 (NH), 1626 (C=O). <sup>1</sup>H-NMR (CDCl<sub>3</sub>+CF<sub>3</sub>CO<sub>2</sub>D) δ : 2.61 (3H, s, -CO-CH<sub>3</sub>), 3.01 (4H, s, -(CH<sub>2</sub>)<sub>2</sub>-), 7.43-7.74 (9H, m, 5,6,7,8-ring proton, -C<sub>6</sub>H<sub>5</sub>). HR-MS *m/z* : 315.1259 (M<sup>+</sup>, Calcd for C<sub>21</sub>H<sub>17</sub>NO<sub>2</sub>; 315.1259).

2) Oxazine **1a** (0.94 g, 5 mmol) および **2a** (0.73 g, 5 mmol) を用いて一般操作法に従って処理する。得られた残渣を acetic acid より再結晶し **4a** (1.01 g, 収率 64%) を得る。

### 4-Acetyl-1-isopropyl-9,10-dihydrobenz[f]-isoquinolin-3(2H)-one (**4b**)

Oxazine **1b** (0.77 g, 5 mmol) および **2a** (0.73 g, 5 mmol) を用いて一般操作法に従って処理する。得られた残渣を ethyl acetate より再結晶し

て **4b** (633 mg, 収率 45%) を得る。mp 257-258 °C (dec.)。IR (KBr)  $\text{cm}^{-1}$  : 2968 (NH), 1690 (C=O), 1619 (C=O)。<sup>1</sup>H-NMR ( $\text{CDCl}_3$ )  $\delta$  : 1.36 (6H, d,  $J = 7$  Hz, -CH-( $\text{CH}_3$ )<sub>2</sub>), 2.40-3.53 (8H, m, -CO-CH<sub>3</sub>, -CH-(CH<sub>3</sub>)<sub>2</sub>, -(CH<sub>2</sub>)<sub>2</sub>-), 7.30 (4H, s, 5,6,7,8-ring proton), 10.83-11.77 (1H, br, NH)。EI-MS  $m/z$  : 281 (M<sup>+</sup>)。Anal. Calcd C<sub>18</sub>H<sub>19</sub>NO<sub>2</sub>: C, 76.87; H, 6.76; N, 4.98. Found: C, 76.81; H, 6.83; N, 4.96.

#### **4-Acetyl-1-n-propyl-9,10-dihydrobenz[f]-isoquinolin-3(2H)-one (4c)**

Oxazine **1b** (0.77 g, 5 mmol) および **2a** (0.73 g, 5 mmol) を用いて一般操作法に従って処理する。得られた残渣を ethanol より再結晶して **4c** (464 mg, 収率 33%) を得る。mp 256-257 °C (dec.)。IR (KBr)  $\text{cm}^{-1}$  : 2957 (NH), 1694 (C=O), 1634 (C=O)。<sup>1</sup>H-NMR ( $\text{CDCl}_3$ )  $\delta$  : 1.20 (3H, t,  $J = 7$  Hz, -CH<sub>2</sub>-CH<sub>2</sub>-CH<sub>3</sub>), 1.40-2.00 (2H, m, -CH<sub>2</sub>-CH<sub>2</sub>-CH<sub>3</sub>), 2.53 (3H, s, -CO-CH<sub>3</sub>), 2.50-2.80 (6H, m, -CH<sub>2</sub>-CH<sub>2</sub>-CH<sub>3</sub>, -(CH<sub>2</sub>)<sub>2</sub>-), 7.30 (4H, s, 5,6,7,8-ring proton), 10.83-11.77 (1H, br, NH)。HR-MS  $m/z$  : 281.1441 (M<sup>+</sup>, Calcd for C<sub>18</sub>H<sub>19</sub>NO<sub>2</sub>; 281.1416)。

#### **4-Acetyl-1-phenyl-5,6-dihydrobenz[h]-isoquinolin-3(2H)-one (4d)**

Oxazine **1a** (0.94 g, 5 mmol) および **2a** (0.73 g, 5 mmol) を用いて一般操作法に従って処理する。得られた残渣を methanol より再結晶し **4d** (1.33 g, 収率 84%) を得る。mp > 300 °C. IR (KBr)  $\text{cm}^{-1}$  : 2898 (NH), 1684 (C=O), 1630 (C=O)。<sup>1</sup>H-NMR ( $\text{CDCl}_3+\text{CF}_3\text{CO}_2\text{D}$ )  $\delta$  : 2.81 (3H, s, -CO-CH<sub>3</sub>), 2.91 (4H, s, -(CH<sub>2</sub>)<sub>2</sub>-), 6.67-6.93 (2H, m, 9,10-ring proton), 7.17-7.26 (2H, m, 7,8-ring proton), 7.40-7.59 (5H, m, -C<sub>6</sub>H<sub>5</sub>)。EI-MS  $m/z$  : 315 (M<sup>+</sup>)。Anal. Calcd C<sub>21</sub>H<sub>17</sub>NO<sub>2</sub> : C, 79.98; H, 5.43; N, 4.44. Found : C, 79.98; H, 5.23; N, 4.36.

#### **4-Acetyl-1-isopropyl-5,6-dihydrobenz[h]-isoquinolin-3(2H)-one (4e)**

Oxazine **1b** (0.77 g, 5 mmol) および **2a** (0.73 g, 5 mmol) を用いて一般操作法に従って処理する。得られた残渣を ethanol より再結晶し **4e**

(633 mg, 収率 45%) を得る。mp 268-270 °C (dec.)。IR (KBr)  $\text{cm}^{-1}$  : 2898 (NH), 1681 (C=O), 1633 (C=O)。<sup>1</sup>H-NMR ( $\text{CDCl}_3$ )  $\delta$  : 1.45 (6H, d,  $J = 7$  Hz, -CH-(CH<sub>3</sub>)<sub>2</sub>), 2.68 (4H, s, -(CH<sub>2</sub>)<sub>2</sub>-), 2.76 (3H, s, -CO-CH<sub>3</sub>), 3.33-4.01 (1H, m, -CH-(CH<sub>3</sub>)<sub>2</sub>), 7.24-7.33 (4H, m, 7,8,9,10-ring proton), 12.17-12.70 (1H, br, NH)。HR-MS  $m/z$  : 281.1377 (M<sup>+</sup>, Calcd for C<sub>18</sub>H<sub>19</sub>NO<sub>2</sub>; 281.1416)。

#### **4-Acetyl-1-phenyl-6,7,8,9,10-pentahydrobenz[g]isoquinolin-3(2H)-one (4f)**

Oxazine **1a** (0.94 g, 5 mmol) および **2c** (0.75 g, 5 mmol) を用いて一般操作法に従って処理する。得られた残渣を ethyl acetate より再結晶し **4f** (256 mg, 収率 16%) を得る。mp 253-255 °C. IR (KBr)  $\text{cm}^{-1}$  : 3382 (NH), 1625 (C=O), 1634 (C=O)。<sup>1</sup>H-NMR ( $\text{CDCl}_3$ )  $\delta$  : 1.25-2.85 (11H, m, cyclohexane ring proton), 2.43 (3H, s, -CO-CH<sub>3</sub>), 6.56 (1H, s, =CH-CH<sub>2</sub>-), 7.46 (5H, s, -C<sub>6</sub>H<sub>5</sub>), 11.69-11.80 (1H, br, NH)。HR-MS  $m/z$  : 319.1583 (M<sup>+</sup>, Calcd for C<sub>21</sub>H<sub>21</sub>NO<sub>2</sub>; 319.1573)。

## 引用文献

- 1) "Studies in Natural Products Chemistry," Vol. 1, ed. by Rahman A.-U., Elsevier Science Publishers, Amsterdam, 1988.
- 2) Ishii H., Ichikawa Y., Kawanabe E., *J. Chem. Soc., Perkin Trans. 1*, **1984**, 2283-2289.
- 3) Hirota T., Sasaki K., Yamamoto H., Katsu T., *Heterocycles*, **26**, 3211-3220 (1987).
- 4) Yamamoto Y., Morita Y., *J. Synth. Org. Chem. Japan*, **50**, 887-898 (1992).
- 5) Yamamoto Y., Morita Y., *Chem. Pharm. Bull.*, **33**, 975-981 (1985).
- 6) Yamamoto Y., Morita Y., *Chem. Pharm. Bull.*, **32**, 2555-2559 (1984).
- 7) Kato T., Katagiri N., Yamamoto Y., *Heterocycles*, **14**, 1333-1403 (1980).
- 8) Yamamoto Y., Azuma Y., Miyakawa K., *Chem. Pharm. Bull.*, **26**, 1825-1831 (1978).

- 9) Kato T., Yamamoto Y., Kondo M., *Heterocycles*, **3**,  
293-296 (1975).
- 10) Chassaing C., Haudrechy A., Langlois Y.,  
*Tetrahedron Lett.*, **40**, 8805-8809 (1999).
- 11) Kouvarakis A., Katerinopoulos H. E., *Synth.*
- 12) 成績体 **4d** の最安定構造は、MOPAC 97 の PM3  
法を用いて計算した（使用ソフト：Chemdraw  
ultra 6.0/Chem 3D Pro 5.0）。